

有限要素法による Forced Plume の解析

京都大学工学部 学生員 古市 徹
 同 上 正員 平岡 正勝
 同 上 学生員 田中 宏明

1.はじめに 孤立大煙源から安定な大気中へ放流された、運動量と浮力を同時にもつ Plume (すなわち、Forced Plume) の挙動を解析することを目的とする。従来の有効煙突高さの考えは、Plume の上昇と拡散を別個に扱うものである。本研究の基本的立場は、Plume の運動量・浮力による上昇過程および拡散過程を解析するに当って、運動量・熱・物質の同時移動現象としてとらえ、それらを記述する偏微分方程式を直接シミュレーションすることにある。手法としては、煙源近傍等部分的にメッシュのサイズを細かくする有限要素法 (FEM) を用いた。また、FEM は排出源の運動量を考慮できる merit がある。普通よく煙源のモデル化として δ -関数で表現される外力項の扱い方にについて、従来の差分法と今回行なった FEM による新しい方法と統一的に議論し考察を行なったので報告する。

2. 数式モデル 対象領域は水平方向 (X 軸) 300m 高さ方向 (Y 軸) 300m の 2 次元で、煙源位置は $X=Y=100m$ と想定している。基礎方程式は適当な無次元化を行なった式(1)~(4)の 4 式である⁽²⁾。ここに、 ζ 、 γ 、 θ 、 C^* はそれぞれ無次元化した満度、流れ実数、温度、濃度で、 K_v : 渦動粘性係数、 K_c : 渦動伝導係数、 K_d : 渦動拡散係数、 Γ : 断熱減率、 T_d : 温度勾配、 P_0 : 初期密度 (const.)、 C_p : 空気の定圧比熱、 H : 対象の高さ、 g : 重力の加速度、 U^* : X 方向の速度、 V^* : Y 方向の速度である。分布定数系では煙源は外力項で表現され、それは数学的には δ -関数でモデル化されることが多い。今の場合、 Q_{fr} 、 Q_t 、 Q_c はそれぞれ煙源の運動量、熱エネルギー、汚染物量を表わしている。

ここで問題となるのは、これらの外力項をいかに空間的・時間的に離散化するかということであり、また式(2)では $\partial \theta / \partial X$ という δ -関数の微分を含んでいるということである。前者については、差分法 (FDM) では δ -関数を離散化するのは困難なので、従来何とかの近似が行なわれてきた。後者については、FDM ではやはり不可能であり、それで境界条件、初期条件を考慮してもやはり問題が残る。しかし、本報告での FEM による方法だときれいに解決する。前者については、Fig-1 に 1 次元の場合について FDM との関係から統一的にモデル化している。後者については、 δ -関数の微分は超実数としての意味から、FEM では積分として評価されるので自然な形で解析される。

$$(1) \nabla^2 \gamma = -\zeta$$

$$(2) \frac{\partial \zeta}{\partial Z} + U^* \frac{\partial \zeta}{\partial X} + V^* \frac{\partial \zeta}{\partial Y} = \nabla^2 \zeta + \frac{g H^3}{K_v^2 (\theta_0 + T_d(t)/\Delta T_d)} \cdot \frac{\partial \theta}{\partial X} + \frac{H^3}{P_0 K_v^2} \cdot \frac{\partial Q_{\text{fr}}}{\partial X}$$

$$(3) \frac{\partial \theta}{\partial Z} + U^* \frac{\partial \theta}{\partial X} + V^* \frac{\partial \theta}{\partial Y} = \frac{K_t}{K_v} \nabla^2 \theta - \frac{H}{\Delta T_d} V^* (T_d - T_d) + \frac{H^2}{K_v \Delta T_d} \cdot \frac{Q_t}{P_0 C_p}$$

$$(4) \frac{\partial C^*}{\partial Z} + U^* \frac{\partial C^*}{\partial X} + V^* \frac{\partial C^*}{\partial Y} = \frac{K_c}{K_v} \nabla^2 C^* + \frac{H^2}{K_v \Delta T_d} Q_c$$

但し、 $Q_{\text{fr}} = M_{\text{fr}} \delta(X-X_0) \delta(Y-Y_0)$, $M_{\text{fr}}, M_t, M_c: \text{const.}$

$Q_t = M_t \delta(X-X_0) \delta(Y-Y_0)$, δ : δ -関数

$Q_c = M_c \delta(X-X_0) \delta(Y-Y_0)$

$$\Delta T_d = \frac{M_t}{4\pi K_v g C_p} \Big|_{t=t}, \quad \Delta C_p = \frac{M_c}{4\pi K_v \delta} \Big|_{t=t}$$

$$(5) \begin{cases} \zeta = \sum N_i(X, Y) \hat{\zeta}_i, & \gamma = \sum N_i(X, Y) \hat{\gamma}_i \\ \theta = \sum N_i(X, Y) \hat{\theta}_i, & C^* = \sum N_i(X, Y) \hat{C}_i^* \\ N_i(X, Y) = \frac{1}{2\Delta} (a_i + b_i X + c_i Y) \end{cases}$$

$$(6) -C_E \cdot \hat{\gamma} + P5 = 0$$

$$(7) A_E \cdot \partial \hat{\zeta} / \partial Z + (B_E + C_E) \cdot \hat{\zeta} + P3 + P4 = 0$$

$$(8) A_E \cdot \partial \hat{\theta} / \partial Z + (B_E + C_E) \cdot \hat{\theta} + P1 + P2 = 0$$

$$(9) A_E \cdot \partial \hat{C}^* / \partial Z + (B_E + C_E) \cdot \hat{C}^* + P6 = 0$$

$$(10) A_E \cdot \partial \hat{x} / \partial Z + (B_E + C_E) \cdot \hat{x} + P = 0$$

$$(11) \hat{x}_Z = \hat{x}_{Z-\Delta Z} + \left[\left(\frac{\partial \hat{x}}{\partial Z} \right)_{Z-\Delta Z} + \left(\frac{\partial \hat{x}}{\partial Z} \right)_Z \right] \cdot \frac{\Delta Z}{2}$$

$$(12) \left[(B+C) + \frac{2}{\Delta Z} A \right] \hat{x}_Z = A \left[\frac{2}{\Delta Z} \hat{x}_{Z-\Delta Z} + \left(\frac{\partial \hat{x}}{\partial Z} \right)_{Z-\Delta Z} \right] - P_{Z-\Delta Z}$$

3. FEMによる定式化 式(1)～(4)を、(5)のように3角形要素の1次の形状関数を用いてGalerkin法で定式化すると、それぞれ要素ごとに式(6)～(9)のようになる。 A_E , C_E , P_2 , P_4 , P_6 はconst.で、 B_E , P_1 , P_3 , P_5 は逐次計算される。式(7)～(9)は、式(10)の形式で統一でき、これから全体マトリックスを作り、式(11)のように時間について離散化すると式(12)のような代数方程式系になる。

4. シミュレーションと結果 適当なI.C.とB.C.の下で、濃度についてだけFig. 2～9にContourを示している。 $M_{fr} = 10^2$ として計算し、乱流特性を考慮して $K_t = K_c = 10 \text{ K}_{fr} = 50 (\text{m}^2/\text{sec})$ として計算した。 $U = 4 \text{ m/s}$ のとき、 61 sec のとき(Fig. 2, 3)は運動量による影響がそれ程顕著ではないが、 121 sec のとき(Fig. 4, 5)には濃度分布に差が現われていい。 $U = 2 \text{ m/s}$ のとき(Fig. 6, 7)には浮力の影響が見られ、上下方向の拡散も大きくなっている。 $U = 6 \text{ m/s}$ のとき(Fig. 8, 9)には水平速度の卓越で、プリュームが横に流れり上下方向の拡散が小さい。いずれにしても煙源の運動量の影響がシミュレーションできていると考えられる。

Appendix Fig. 1の③と④が同値であるとの証明、簡単のため1次元でB.C.を考えたい。(同様に証明できる。) $\frac{\partial C}{\partial t} = AC$ の基本解と $U(t, x, y)$ とする。但し、 $A = \frac{\partial}{\partial x}(K_x \frac{\partial}{\partial x})$ 。④の解は偏微分方程式の理論から、次のように求められる。⁽¹⁾ 但し、 $N\Delta t \leq t < (N+1)\Delta t$ 。

$$C = \int_{y-N\Delta t}^y U(t-N\Delta t, x, y) \{C_0(y) + D(y, N\Delta t)\} dy \cdots ①$$

これは次のように変形できる。

$$C = \int_{y-N\Delta t}^y U(t-N\Delta t, x, y) C_0(y) dy + \int_{y-N\Delta t}^y \int_{x-\Delta x}^{x+\Delta x} U(t-N\Delta t, x, y) D(y, N\Delta t) \delta(x-y) dy dx \cdots ②$$

③式の両辺を Δt で微分する。

$$\begin{aligned} \frac{\partial C}{\partial t} &= \int_{y-N\Delta t}^y \frac{\partial}{\partial t} U(t-N\Delta t, x, y) \cdot C_0(y) dy \\ &\quad + \int_{y-N\Delta t}^y U(t-N\Delta t, x, y) \int_{x-\Delta x}^{x+\Delta x} \frac{\partial U(t-N\Delta t, x, y)}{\partial x} D(y, N\Delta t) \delta(x-y) dy dx \\ &= \int_{y-N\Delta t}^y A U(t-N\Delta t, x, y) \{C_0(y) + D(y, N\Delta t)\} dy \\ &\quad + \int_{y-N\Delta t}^y \delta(x-y) D(y, N\Delta t) \delta(x-y) dy \\ &= AC + D(x, N\Delta t) \delta(t-N\Delta t) \cdots ③ \end{aligned}$$

③式は、④の解が③の方程式を満足していることを示している。また、 C が③の初期条件 $C(x, N) = C_0(x)$ を満すことは、③式から超函数の意味で、 $\lim_{t \rightarrow N\Delta t} U(t-N\Delta t, x, y) = \delta(x-y)$ より明らかである。故に、③と④は同値である。(Q.E.D.)

参考文献 1). 伊藤清三「偏微分方程式」講義

2). C.C. Shin: Atom. Envir. Vol. 4, pp389~407 (1970)

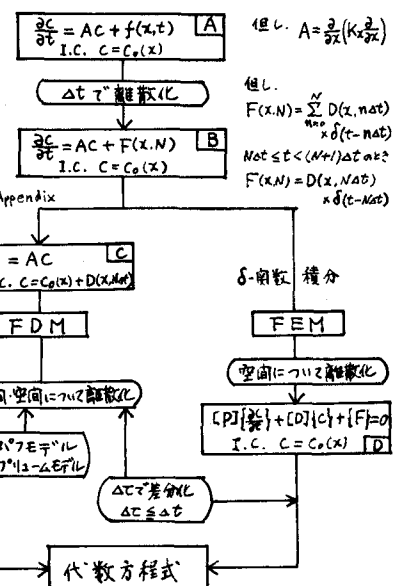


Fig. 1. 煙源のモデル化

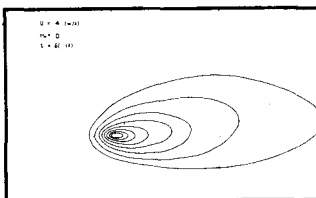


Fig. 2

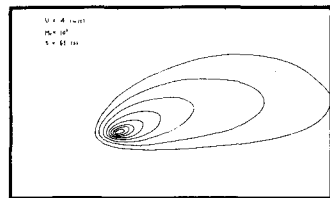


Fig. 3

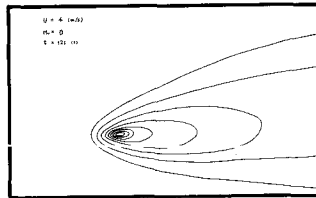


Fig. 4

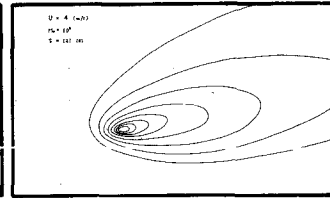


Fig. 5

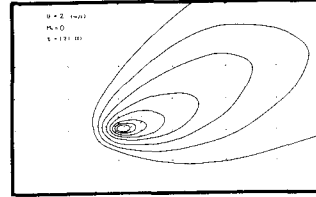


Fig. 6

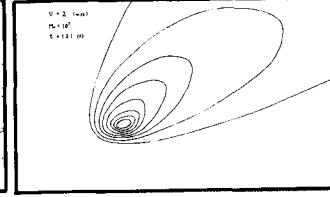


Fig. 7

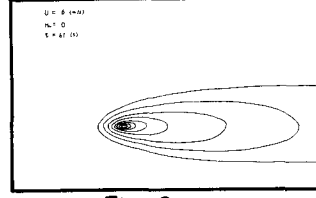


Fig. 8

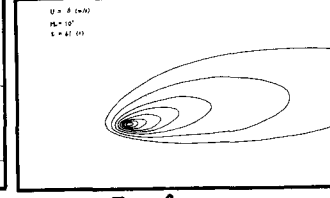


Fig. 9